

日本交通技術(株) 正員 青柳 史郎
全 上 正員 ○森田 定昭

吊橋の主塔および橋脚の耐震応答は、吊橋の全振動系から主塔および橋脚だけを分離して解析できる。橋軸方向の応答では、主塔を支承面段とみなしてよい。また、橋脚の剛性や質量分布が主塔部分のそれと格段に違く、ケーブルによる塔頂の拘束力も大きいので、主塔、橋脚の振動系から更に主塔だけを單独にとり出して、一端固し、他端固定の梁とみなして応答を解析することも行われている。しかし、長大吊橋では橋脚のロッキングの周期が、多くの場合、主塔の1次または2次の振動周期附近にあるので、橋脚をも振動系にとり入れて解析する必要がある。また、ケーブルや補剛筋も主塔、橋脚の振動特性に影響を及ぼすが、この結果は塔頂に作用するバネと付加質量として処理できる。このときの換算方法には、なお若干の検討を要するが、これらはいずれにしても設計の立場のうみて重要な主塔基部や橋脚の応答にはあまり影響しないので、ここでは付加質量としては側径向外および中央径向の死荷重のそれぞれの半分を質量に換算したものとし、またバネ常数 R_C を小西、山田⁽¹⁾の方法にならって次式の値とする。

$$R_C = E_C A_C \left(\frac{1}{L_C} + \frac{1}{L_S} \right)$$

$$\text{ただし、 } L_C = \int_0^{l_C} \sec^3 f_C dx \quad L_S = \int_0^{l_S} \sec^3 f_S dx$$

f_C, f_S : 中央径向外および側径向外のケーブル傾斜角

l_C, l_S : 中央径向長および側径向長

応答計算はデジタル計算機によらなければならぬが、そのために主塔部分の質量を有限個の質点に集中させ、有限個の自由度を持った振動系として解析する。そのときの質点について次の運動方程式が成立す。

$$m_i \ddot{y}_i + \sum_j P_{ij} = 0 \quad (1)$$

m_i は質点 i の質量であり、 y_i は質点 i の横変位である。また P_{ij} は質点 j の変位によって質点 i に生ずる復元力を表わす。橋脚部分に関しては、これを主塔に連続する梁とみなして主塔と同様の質点の質点に分けて①と同様の運動方程式が成立つとし、全質点についての方程式を立てさせることも可能であるが、橋脚断面が大きくその回転慣性が無視できないとき質点に分ける方法は正しくない。そこで橋脚断面についてはモーメントの釣合いから運動方程式を導びく。

$$I_G \ddot{\theta} + m_G g e \ddot{y}_G + \sum_j M_{Gj} = 0 \quad (2)$$

ただし、 I_G : 橋脚重心まわりの回転慣性、 m_G : 橋脚質量、 e : 橋脚重心高さ、 M_{Gj} : j 点の変位によつて橋脚に生ずる復元モーメント。なお、橋脚は地動に対して相対変位を生じないものとする。

今、塔頂のバネの固定端と橋脚基礎との変位が同一の変位 $y_0(t)$ に拘束されているものとすると、 $y_0(t)$ に対する各点の相対変位 ζ を導入し、①、②は次の行列の形の連立方程式に書き直すことができる。

$$\zeta_i = y_i - y_0 \quad (3)$$

$$\begin{bmatrix} I_0 & & \\ m_1 & \cdots & \\ & \ddots & \\ & & m_I \end{bmatrix} \begin{bmatrix} \ddot{\gamma}_0 \\ \ddot{\gamma}_1 \\ \vdots \\ \ddot{\gamma}_I \end{bmatrix} + \begin{bmatrix} \frac{M_{G1}}{I_0} & \frac{M_{G2}}{I_0} & \cdots & \frac{M_{GI}}{I_0} \\ R_{11} & R_{12} & \cdots & R_{1I} \\ \vdots & \vdots & & \vdots \\ R_{I1} & R_{I2} & \cdots & R_{II} \end{bmatrix} \begin{bmatrix} \gamma_0 \\ \gamma_1 \\ \vdots \\ \gamma_I \end{bmatrix} = -\ddot{\gamma}_0 \begin{bmatrix} m_G \\ m_1 \\ \vdots \\ m_I \end{bmatrix} \quad (4)$$

ただし、 $I_0 = I_0 + m_G \ddot{\gamma}_0$; 橋脚基部まわりの回転慣性： I ；主塔部分の質量数

(4)の左辺第2項の行列 $[K]$ は各質点に着目した場合のための影響線係数を要素とする行列の逆行列として計算できる。なお橋脚に拘束しても橋脚重心に着目して同様に処理できる。

(4)の解 $\ddot{\gamma}_i(t)$ は、(4)の右辺を 0 とする自由振動の式から求まる固有振動数 ω_n (n :モード数) とそれに対応する固有ベクトル列 $\{\phi_i\}_n$ を用いて、

$$\ddot{\gamma}_i = \sum_n \phi_{in} Y_n \quad i = G, 1, \dots, I \quad n = 1, \dots, I+1 \quad (5)$$

と表わすことができる。 Y_n は各モード n に対する一般化座標で、これは(5)を(4)K代入し、 $\{\phi_i\}_n$ の直交性を考慮して得られる次式を解いて決定できる。

$$\ddot{\gamma}_i + \omega_n^2 Y_n = -\frac{R_n}{m_n} \ddot{\gamma}_0 \quad (6)$$

$K R L, R_n = \phi_{Gn} m_G + \phi_{1n} m_1 + \dots + \phi_{In} m_I$; Participation factor

$M_n = \phi_{Gn}^2 \frac{I_0}{I_0} + \phi_{1n}^2 m_1 + \dots + \phi_{In}^2 m_I$; Generalized mass

減衰係数 μ が比較的小さいとき、振動モード $\{\phi_i\}_n$ には影響しないとして、(6)式の左辺に $2\mu\omega_n^2$ を加えることによって近似的に減衰効果を加味できる。そのとき Y_n は次式のようになる。

$$Y_n = -\frac{R_n}{m_n \omega_n^2} \int_0^t \ddot{\gamma}_0(\tau) e^{-i\omega_n(t-\tau)} \sin \omega_n \sqrt{1-\mu^2}(t-\tau) d\tau \quad (7)$$

(7)から Y_n が求めれば、変位 γ_i は(5)より決定され、また曲げモーメントの応答やせん断力の応答も(4)における係数行列および曲げモーメント、せん断力の影響線を用いて同様に求まる。

(7)における $\ddot{\gamma}_0(t)$ がいわゆる地動である。この地動 $\ddot{\gamma}_0$ を与えるとき、橋の主塔および橋脚の耐震応答を計算できる。

具体的な応答計算には、地動として過去の地震記録をデジタル化したものが使用される。デジタル量としての地震加速度は普通、極大、極小値または中间点についてのみがその時刻との組合せとして与えられる。従って、(7)の積分を実施するためにはその間を結ぶ曲線を想定して補間してやる必要がある。曲線の想定が異なれば結果にも違いが生じる。そこで本報告では、中央径間長、1,500m の吊橋主塔の設計例を例にとり、橋脚、塔頂バネが振動モードなどに与える影響と、更には地動の補間法の違いが応答値に及ぼす効果とを調べた結果について報告する。

なお、(7)の積分の計算法を次の数値積分の形に直して行った。(△t: 積分における時間刻み)

$$Y_n(j \Delta t) = -\frac{R_n}{m_n \omega_n} \Delta r(j \Delta t) \quad (7')$$

KRL

$$\Delta r(j \Delta t) = \Delta t [A(j) \sin \omega_n \sqrt{1-\mu^2} j \Delta t - B(j) \cos \omega_n \sqrt{1-\mu^2} j \Delta t] \quad (8)$$

$$A(j) = \ddot{\gamma}_0(j \Delta t) \cos \omega_n \sqrt{1-\mu^2} j \Delta t + e^{i \omega_n j \Delta t} A(j-1)$$

$$B(j) = \ddot{\gamma}_0(j \Delta t) \sin \omega_n \sqrt{1-\mu^2} j \Delta t + e^{i \omega_n j \Delta t} B(j-1)$$

[地動の補間法について]

地動には El Centro 1940, N-S の地震記録で、最大加速度が 200 gal となるよう縮小したものを使い、補間法としては直線補間による方法、SINE 曲線によつて補う方法、および 3 次曲線によつて補う方法の 3 種類を用いた。即ち、 $\ddot{y}_o(j)$, $\ddot{y}_o(j+1)$ ($j=1, 2, 3, \dots$) として与えられている記録から $\ddot{y}_o(j) < j\Delta t \leq \ddot{y}_o(j+1)$ の範囲にある任意の時刻 $j\Delta t$ での $\ddot{y}_o(j\Delta t)$ を次のようく求めた。

○ 直線補間 (LN の記号で表す)

$$\ddot{y}_o(j\Delta t) = \ddot{y}_o(j) + \frac{j\Delta t - t(j)}{t(j+1) - t(j)} [\ddot{y}_o(j+1) - \ddot{y}_o(j)] \quad ④-i$$

○ SINE 補間 (SN の記号で表す)

$$\ddot{y}_o(j\Delta t) = a_1(j) + a_2(j) \sin \pi \frac{j\Delta t - \frac{1}{2}[t(j+1) + t(j)]}{t(j+1) - t(j)} \quad ④-ii$$

$$a_1(j) = \frac{1}{2} [\ddot{y}_o(j+1) + \ddot{y}_o(j)], \quad a_2 = \frac{1}{\pi} [\ddot{y}_o(j+1) - \ddot{y}_o(j)]$$

○ 3 次曲線補間 (TR の記号で表す)

$$\ddot{y}_o(j\Delta t) = C_1(j\Delta t)^3 + C_2(j\Delta t)^2 + C_3(j\Delta t) + C_4 \quad ④-iii$$

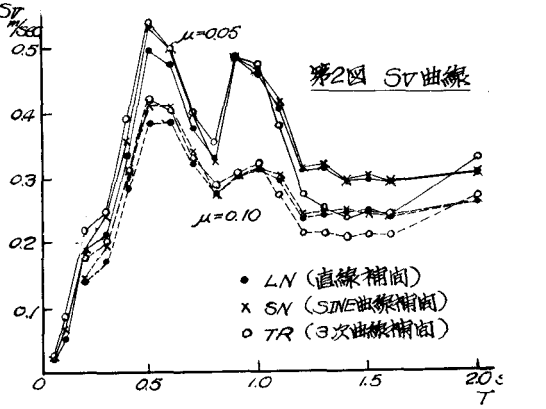
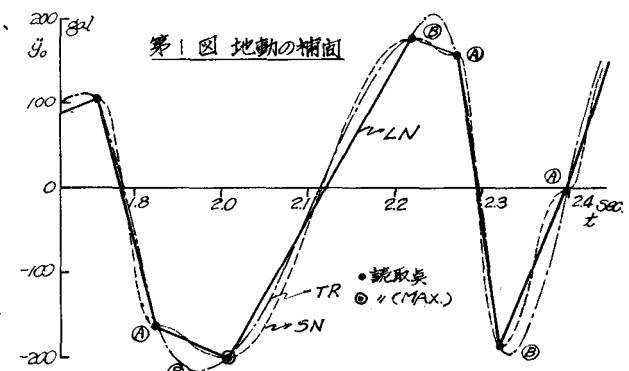
$$\begin{cases} C_1 \\ C_2 \\ C_3 \\ C_4 \end{cases} = \begin{bmatrix} t^3(j-1) & t^2(j-1) & t(j-1) & 1 \\ t^3(j) & t^2(j) & t(j) & 1 \\ t^3(j+1) & t^2(j+1) & t(j+1) & 1 \\ t^3(j+2) & t^2(j+2) & t(j+2) & 1 \end{bmatrix}^{-1} \begin{bmatrix} \ddot{y}_o(j-1) \\ \ddot{y}_o(j) \\ \ddot{y}_o(j+1) \\ \ddot{y}_o(j+2) \end{bmatrix}$$

この 3 種の補間法を用いることによつて、地盤の加速度波形は第 1 図の如く再現されることになる。(図 K は波形の内最大振幅をとる附近の極く一部を示した。)

印で示した点が記録に与えられた点である。TR の場合、記録にある極大値よりも大振幅の部分が生じる点 (図 K における③点) に難点があり、又 SN の場合、中間点で微係数が 0 となる (図 K における④点) 所に矛盾がある。いずれも一長一短である。③の点は μ と ω を与えれば決まるもので、構造 K は直接関係しない。 ω の最大値

$S\tau(\mu, \omega) = |\dot{y}_v(\mu, \omega, t)|_{max} \quad ④$

がいわゆる速度スペクトルといわれるものである。上記 3 種類の方法で El Centro の地動に対して求めた $S\tau$ 曲線を $\mu = 0.05$, $\mu = 0.10$ の場合について第 2 図に示した。横軸には周期 $T (= \frac{2\pi}{\omega})$ をとった。T が小さいとき、TR と SN の結果が近似しており、T が大きいとき、SN と LN の結果が近似している。なお、図 K には、③式の点を 0.005 sec. として計算した結果を示してある。



[応答計算例]

計算に用いた吊橋主塔及び横脚の諸元を左表に示す。塔頂ビン、塔基部固定の場合(ケースFと称す)と塔頂バネ及び横脚を考慮した場合(ケースRHと称す)との2ケースについて計算したが、両ケースでの振動モードを第3図に示す。ケースFでの1次、2次のモードをケースRHの3次、4次とそれぞれ重ねて記入した。ケースFの1次とケースRHの4次とは互いによく一致している。ケースFの1次とRHの3次とはそれ程よくは一致していないが、やはり支点がみられる。RHにおける1次と2次のモードが横脚のロッキング及び塔頂バネを考慮したことによって加わったものであると考えられる。横脚単独の場合のロッキングの振動数は $\omega_r = 4.49 \text{ sec}$ でこれはケースRHの2次の振動数によく一致している。

質量	高さ	質量	断面2枚 モーメント	軸力
10	210.85 (4260)	103	22.5	68700
9	189.85	103	34.6	69100
8	168.85	117	40.3	70900
7	147.85	110	44.5	72000
6	126.85	123	48.0	73200
5	105.85	124	53.6	74400
4	84.85	123	63.7	75600
3	63.85	160	77.4	77200
2	42.85	131	85.0	78400
1	21.85	134	89.4	79800
0	0	—		

橋脚 高さ $h = 80 \text{ m}$
重心高さ $h_0 = 24.7 \text{ m}$
回転慣性 $I_0 = 4.74 \times 10^8 \text{ ton} \cdot \text{m}^2$
質量 $M_0 = 2.77 \times 10^5 \text{ ton}$
回転半径 $k_0 = 9.58 \times 10^3 \text{ ton} \cdot \text{m}^{-1}$

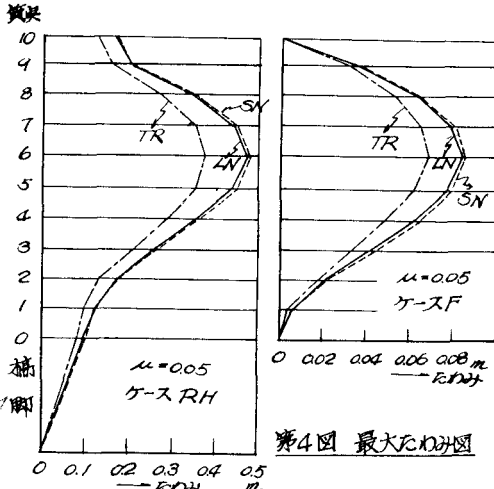
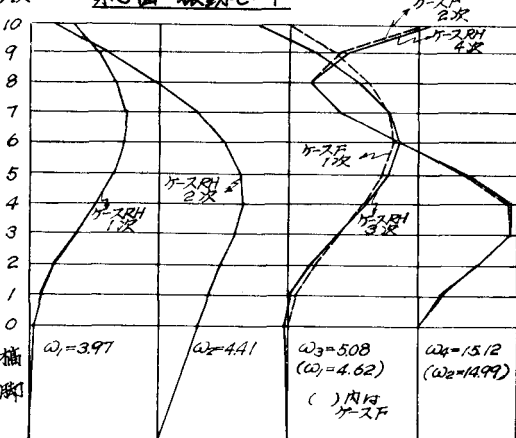
(塔頂バネ $R_c = 0.11 \times 10^4 \text{ ton/m}$)

第3図 振動モード

El Centro の地震波に対するたわみの最大応答を第4図に示した。各質量ごとに最大の応答を示す時刻はそれぞれ異なるが、この時間的不一致を無視し、絶対値での最大応答値を結んで図に示した。応答はそれぞれ3種類の補間法を用いて計算した。LN と SN との結果によく一致している。しかし、第2図(ST 曲線)での比較からみて異った基本振動数をもつ構造については、また違った結果も予想される。どの補間法を用いるべきか本報告の結果からだけでは明確でないが、設計者の立場から考えるとさしあたり LN を用いて充分であるといえよう。最後には地震記録をデジタル化する段階で、波形を再現するためにはいはければならない補間の仕方も規定されるべきであろう。

[文 献]

- (1) Ichiro Konishi, Yoshiro Yamada
and Nobuyoshi Takaoka.
"EARTHQUAKE RESISTANT DESIGN OF LONG
SPAN SUSPENSION BRIDGES."
PROCEEDINGS OF JAPAN NATIONAL SYMPOSIUM
ON EARTHQUAKE ENGINEERING. 1962.



第4図 最大たわみ図